

مطالعات کاربردی و تلفیقی لیزر رامان اسپکتروسکوپی و ریزدماسنجی در محاسبه شوری میانبارهای سیال: مطالعه موردی کانسار فلوروریت سولکان، زنجان (شمال غرب ایران)

محیا منوچهری نیا

دانشکده علوم زمین، دانشگاه دامغان، دامغان

امیر مرتضی عظیم‌زاده

گروه زمین‌شناسی، دانشکده علوم، دانشگاه زنجان، زنجان

نادر تقی پور

دانشکده علوم زمین، دانشگاه دامغان، دامغان

حافظه منگی

گروه زمین‌شناسی، دانشکده علوم، دانشگاه زنجان، زنجان

تاریخ پذیرش: ۹۶/۸/۲۲

تاریخ دریافت: ۹۶/۶/۱۶

amir.azimzadeh@znu.ac.ir

چکیده

کانسار فلوروریت سولکان در زون سندج - سیرجان و در مجاورت معدن روی - سرب انگوران (حدود ۵۰۰ متر) واقع شده است. لیتولوژی غالب در محدوده کانسار سولکان شامل سنگ‌های دگرگونی آمفیبول شیست، میکاشیست، مرمر گرافیت‌دار و گنایس با سن پرکامبرین می‌باشد. جهت تعیین شرایط تشکیل کانی اسپکتروسکوپی و به صورت تلفیقی مورد مطالعه قرار گرفتند. میانبارهای سیال اولیه و دو فازی غنی از مایع که دارای فراوانی زیادی در کانی فلوروریت رامان اسپکتروسکوپی و به صورت تلفیقی مورد مطالعه قرار گرفتند. میانبارهای سیال اولیه و دو فازی غنی از مایع که دارای فراوانی زیادی در کانی فلوروریت رامان اسپکتروسکوپی و به صورت تلفیقی مورد مطالعه قرار گرفتند. در میانبارهای سیال مورد مطالعه دمای همگن شدن به فاز مایع در محدوده ۱۲۰ تا ۱۹۰ درجه‌ی سانتی گراد می‌باشد، جهت انجام مطالعات انتخاب گردیدند. در میانبارهای سیال اولیه و دو فازی غنی از مایع در محدوده ۱۴۰ تا ۲۵.۵ درجه سانتی گراد اندازه‌گیری شد. بر اساس اندازه گیری‌های ریز دما‌سنجی، بیشترین فراوانی شوری $(\text{NaCl} + \text{CaCl}_2)$ برآورد شده در سیستم $\text{H}_2\text{O}-\text{NaCl}-\text{CaCl}_2$ در محدوده ۱۸ تا ۲۰ درصد قرار می‌گیرد. بر روی یک میانبار سیال منفرد از مجموعه میانبارهای سیال اولیه و دو فازی غنی از مایع در کانی فلوروریت اندازه‌گیری‌های لیزر رامان اسپکتروسکوپی انجام گرفت. با استفاده از توزیع کوشی-لورنتز طیف بدست آمده و رابطه $\Delta v_1 = 3222.8 + 1.69 \text{ sal}$ شوری فاز مایع در دو مرحله به ترتیب ۱۸.۶ و ۱۸.۱ درصد محاسبه شد. مقدار شوری بدست آمده با استفاده از روش لیزر رامان اسپکتروسکوپی و مقایسه آن با مقدار شوری تعیین شده از روش سرمایش، نشان دهنده تطابق معنی‌دار نتایج این دو روش می‌باشد.

کلمات کلیدی: لیزر رامان اسپکتروسکوپی، ریز دما‌سنجی، شوری، میانبارهای سیال، سولکان، زنجان

مقدمه

فرآیندهای گرمایی دارد (Roedder, 1984). محاسبه ترکیب شیمیائی و میزان شوری فاز مایع در میانبارهای سیال با روش‌های متعددی انجام گیرد. رایج‌ترین و معمول‌ترین آزمایشاتی که بر روی میانبارهای سیال انجام داده می‌شود، آزمایش گرمایش - سرمایش است که بر پایه این روش دما و شوری محلول گرمایی مؤثر در کانی‌زایی تعیین می‌شود. در سالهای اخیر برای سنجش ترکیب شیمیائی فازهای جامد، مایع و فازهای گازی چند اتمی (Polyatomic) در میانبارهای سیال از آنالیز لیزر رامان اسپکتروسکوپی نیز که یک روش غیر تخریبی، دقیق و سریع است، استفاده Frezzotti et al., 2012; Bakker and Azimzadeh (2017). روش لیزر رامان اسپکتروسکوپی بر مبنای پراکنش غیر الاستیک نور برخورده به ماده در حالت‌های مختلف جامد، مایع و گاز

در تشکیل کانسارهای فلزی شوراب‌ها نقش بسیار مهمی ایفا می‌کنند و برای هر سیستم کانی‌زایی از شرایط ترمودینامیکی و فیزیکوشیمیائی متفاوتی برخوردار می‌باشند. از این روش مطالعه میانبارهای سیال به عنوان بازمانده‌هایی از شوراب‌های گذشته در شناسایی و نحوه تشکیل آنها کارائی قابل توجهی دارد. بررسی میانبارهای سیال می‌تواند اطلاعات جامع و کاملی در مورد چگالی، فشار، دما، مقدار شوری، ترکیب گازهای سیال، مقدار ایزوتوپ‌های پایدار و مقدار مواد محلول درون سیال فراهم نماید (Shepherd et al., 1985). بویژه آنکه آگاهی از شوری میانبارهای سیال از اهمیت خاصی در تفسیر منشاء سیالات زمین‌شناسی و نقش آنها در تشکیل کانسارات و همچنین فرآیندهای مانند دیاژنز، دگرگونی و

انتقال داده شد. سپس توسط میکروسکوپ پلاریزان پتروگرافی میانبارهای سیال موجود در فلوریت سولکان مورد بررسی قرار گرفت. ریزدماسنجی بر روی ۲۰۰ میانبار سیال اولیه و ثانویه کاذب و حتی الامکان بدون دم Linkam بریدگی در کانی فلوریت کانسار سولکان توسط دستگاه THMSG 600 در آزمایشگاه ریزدماسنجی دامغان انجام گرفت. این دستگاه قادر به اندازه‌گیری محدوده دمایی 196°C - 600°C باشد. آنالیزهای لیزر رامان اسپکتروسکوپی بر روی تعدادی از میانبارهای سیال موجود در کانی فلوریت انجام شد. کلیه آنالیزها توسط دستگاه لیزر رامان اسپکتروسکوپی Jobin Yvon LABRAM - Raman spectrometer - confocal در آزمایشگاه میانبارهای سیال داشتگاه لیزر ند Nd - YAG ۵۳۲/۰۲ نانومتر می‌باشد.

زمین‌شناسی منطقه

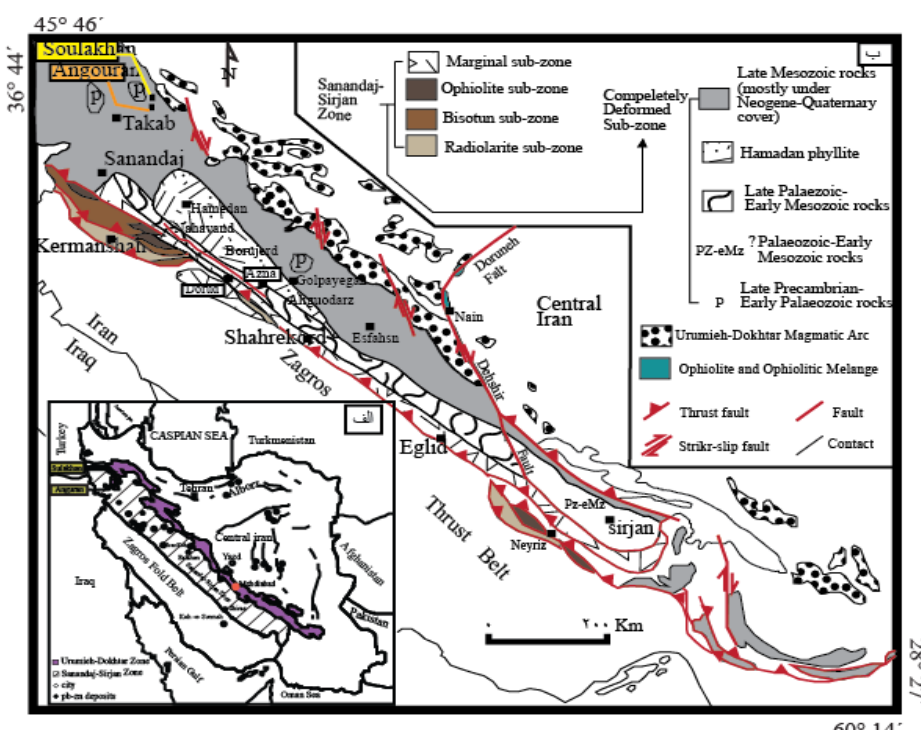
کانسار سولکان در منطقه تکاب قرار دارد. این کانسار به همراه معدن روی - سرب انگوران در شمال زون سنندج - سیرجان و در بخش غربی پهنه البرز - آذربایجان قرار گرفته است (شکل ۱ الف، ب). در منطقه تکاب شواهدی متعددی مبنی بر کوهزایی در مقیاس وسیع با سن اؤسن Glennie, 2000; Alavi, 1994; Gilg et al., 2003; Daliran et al., 2013; Richards et al., 2006; Stocklin, 1998 که می‌توانند از دیدگاه تشکیل کانسارهای فلزی قابل توجه باشند (نجفزاده و همکاران, ۱۳۹۵ و منابع آن؛ منگی و همکاران, ۱۳۹۶ و منابع آن).

طراحی شده است. این پراکنش که به آن پراکنش رامان نیز می‌گویند برای هر ترکیب شیمیائی منحصر به فرد است. در این روش، محاسبات بر پایه اندازه‌گیری پرتوهای غیر الاستیک (رامان) پراکنش یافته از سطح ماده انجام می‌گیرد که نتایج آن به صورت یک طیف رامان (شدت نور پراکنش یافته در مقابل عدد موج نور پراکنش یافته) نمایش داده می‌شود. شری فاز مایع در میانبارهای سیال با استفاده از لیزر رامان اسپکتروسکوپی بر اساس شکل هندسی طیف بدست آمده از فاز مایع یا به عبارتی محلول حاوی نمک‌ها قابل محاسبه می‌باشد (Rull and De Saja 1986; Frantz et al., and Bakker, 2008; Baumgartner 1993).

هدف از انجام این پژوهش تعیین شوری میانبارهای سیال موجود در کانی فلوریت کانسار سولکان بوسیله آزمایش ریزدماسنجی و لیزر رامان اسپکتروسکوپی و همچنین مقایسه این دو روش با یکدیگر می‌باشد. کانسار فلوریت - روی - سرب سولکان در محدوده معدن روی سرب انگوران در زون سنندج - سیرجان و در ۱۲۵ کیلومتری غرب شهر زنجان واقع شده است. این کانسار در شمال پیت معدن روی - سرب انگوران قرار گرفته است.

مواد و روش‌ها

پس از بررسی‌های صحرایی به منظور مطالعه میانبارهای سیال در کانسار سولکان از سه طیف رنگی کانی فلوریت (دودی، سفید، بنفش) نمونه‌برداری شد. نمونه‌ها حتی‌الامکان خالص و شفاف و از ترانشهای عمود بر رگه ماده معدنی، برداشت شدند. تعداد ۲۱ نمونه جهت تهیی مقاطع دوپر صیقل انتخاب گردید و به کارگاه مقطع‌گیری دامغان

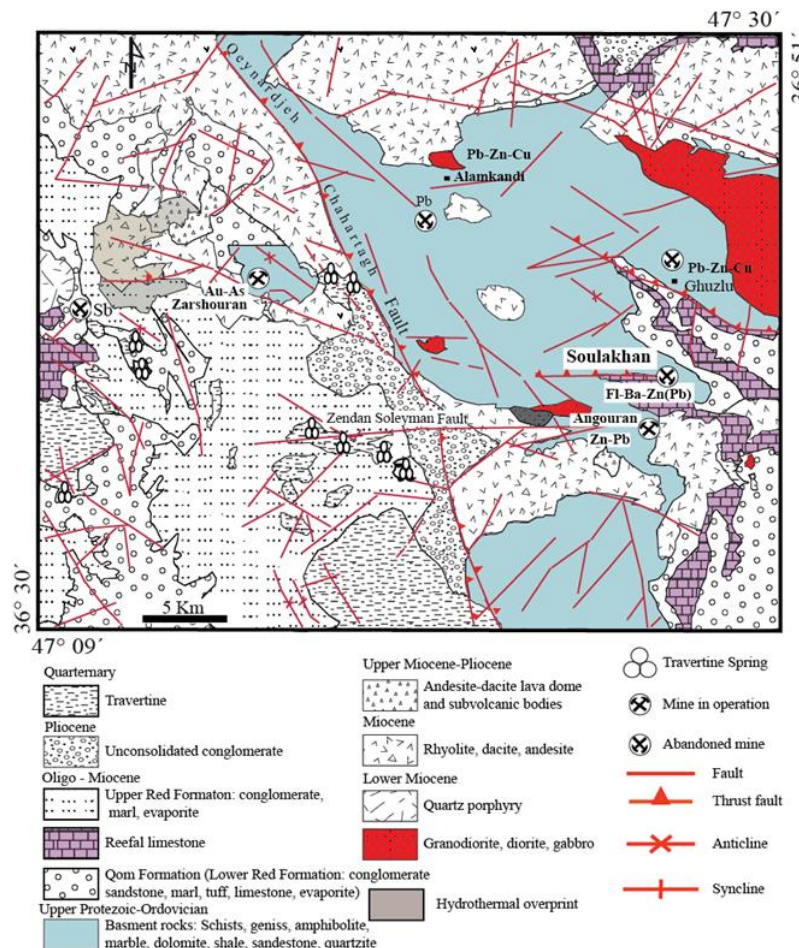


شکل ۱. الف) نقشه‌ی زمین‌شناسی معدن سرب و روی ایران. ب) موقعیت منطقه مطالعه در زون سنندج - سیرجان (نقشه زمین‌ساختی جنوب باختری زون سنندج - سیرجان با تغییرات از Mohajjel et al., 2003)

بخش شمالی منطقه را به خود اختصاص داده است که شامل آهک‌های دریایی و تبخیری‌ها می‌باشد. سنگ‌شناسی این مجموعه نشان‌دهنده یک دریای کم عمق و توالی قاره‌ای است. با توجه به فسیل‌های موجود می‌توان زمان میوسن آغازی - میانی را به این واحد نسبت داد (Rahimpour - Bonab and Kazemi, 2003; Babakhani et al., 2002). به دلیل وجود گسل‌های تراستی، بیشتر لیتوژوئی‌های منطقه در تماس با نهشته‌های ترشیری می‌باشند. نهشته‌های کواترنری در منطقه شامل مقادیر قابل توجهی از تراوترن با ضخامت ۳۰ متر، گراول و رسوبات آبرفتی هستند. در داخل تراوترن‌ها چشمدهای آب گرم مشاهده می‌شود که از رسوبات کربناته منطقه سرچشمه می‌گیرند (Naumann, 1961; Damm, 1968). کانسار طلای گرمابی زرشوران تقریباً در ۳۰ کیلومتری شمال غرب کانسار سولکان و در داخل سنگ‌های ریولیت، آندزیت، توف و برش قرار دارد که سن آنها میوسن میانی تخمین زده شده است. جانشینی در داخل مرمراهای گرافیت‌دار رخ داده است. همچنین در بعضی قسمت‌ها، کانی‌زایی در مرز بین میکاشیت و مرمرها گرافیت به چشم می‌خورد.

کانسار سولکان در ۵۰۰ متری شمال پیت معدن روی - سرب انگوران و در داخل کمپلکس‌های دگرگونی (core complex) پرکامبرین با ترکیب سنگ‌شناسی دولومیت، کوارتزیت، ضخامت نازکی از مرمر گرافیت‌دار افقی، آمفیبولیتیت، لایه‌های کربناتی، بازالت‌های پیلوالا با بدنه سرپانتینی شده، گنایس و میکاشیت قرار گرفته است (Daliran et al., 2012). این سری سنگ‌ها تحت تأثیر رخساره‌ی شیست سبز تا آمفیبولیت دگرگون شده‌اند (شکل ۲). مجموعه‌ی سنگی یاد شده نشانگر برآمدگی میان اقیانوسی می‌باشد (Daliran et al., 2013; Gazanfari, 1991). همچنین این مجموعه به وسیله‌ی مرمر و کوارتزیت‌ها از ماده‌ی معدنی تفکیک می‌شوند. مرز بین مرمرها و کمپلکس‌های دگرگونی تراستی یا به وسیله‌ی گسل تفکیک شده است. این ناپیوستگی به وسیله‌ی تکرار سرپانتینیت‌ها و شیستهای سبز که گاه تا درجه آمفیبولیتی دگرگون شده‌اند مشخص است (Daliran et al., 2013). مطالعات سن‌سنگی انجام شده به روش U - Pb بر روی کانی زیرکن از حدود ۵۶۰ میلیون سال پیش تشکیل شده اند (حمدی، ۱۳۷۴).

سنگ میزاند ماده‌ی معدنی در کانسار سولکان بوسیله‌ی توالی معدن سنگ میزاند قم با سن الیگو - میوسن پوشیده شده و قسمت اعظم



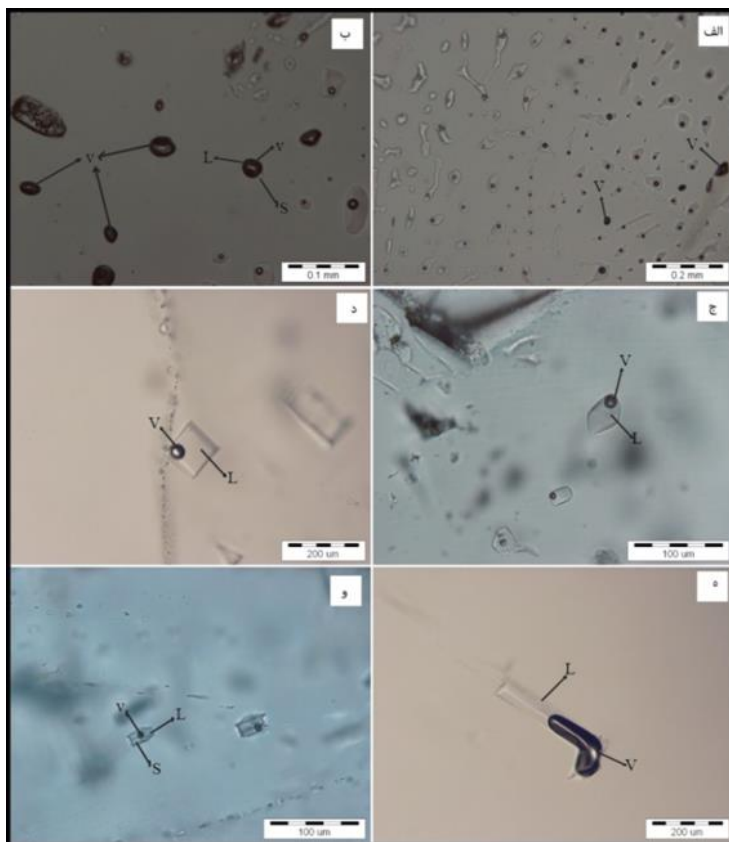
شکل ۲. نقشه زمین‌شناسی منطقه مورد مطالعه (با تغییرات از Daliran, 2008)

میانبارهای سیال تعریف شده است، ۶ نوع میانبار سیال به شرح زیر قابل تشخیص می‌باشد. نوع اول: گروهی از میانبارها می‌باشند که تنها از فاز گاز تشکیل شده‌اند (شکل ۳ الف و ب). نوع دوم: این نوع از میانبارهای سیال تماماً از مایع پر شده‌اند و ساده‌ترین نوع میانبار می‌باشند و به اشکال مختلفی دیده می‌شوند (اکثراً کروی) که احتمالاً حاصل یک باریک‌شدگی هستند (تک فازی مایع). نوع سوم: میانبارهای دوفازی غنی از مایع با فراوانی نسبتاً زیاد می‌باشند (شکل ۳ ج و د). نوع چهارم: میانبارهای دو فازی غنی از گاز می‌باشند که بیشتر حجم سیال را حباب گاز تشکیل می‌دهد (شکل ۳ ه). نوع پنجم: میانبارهای سه فازی جامد-مایع - گاز که فار جامد در این نوع میانبارها، در حجمی از مایع احاطه شده است (شکل ۳ و). حضور میانبارهای سیال نوع یک همراه با میانبارهای سیال نوع چهارم می‌تواند نشان دهنده پدیده جوشش باشد (Simmons et al., 2000) تحت تأثیر این عمل، پایداری کمپلکس‌های حامل فلزات کمتر می‌گردد و تنشست ناگهانی کانه‌ها در یک مقیاس کوچک اتفاق می‌افتد (Bodnar and Beane, 1980).

بحث و نتایج

پتروگرافی میانبارهای سیال

مطالعات پتروگرافی میانبارهای سیال می‌تواند به شناسایی روابط بیچیده میان میانبارهای سیال و کانی‌های میزبان کمک نماید (Goldstein and Reynolds, 1994; Van den Kerkhof and Hein, 2001) از این جهت در این مطالعه به بررسی دقیق پتروگرافی میانبارهای سیال موجود در کانی فلوئوریت پرداخته شده است. میانبارهای سیال، به تعداد فراوان و با توزیع و ترکیب‌های متفاوت در فلوئوریت سولکان وجود دارند. میانبارهای سیال مشاهده شده مطابق معیارهای (Rodder, 1984) به طور عمده از نوع اولیه، ثانویه و مقدار کمتر ثانویه دروغین می‌باشند. اشکال مشاهده شده میانبارهای سیال در کانی فلوئوریت، به ترتیب فراوانی به صورت نامنظم، کشیده، پهن، کروی، بیضوی و شکل منفی بلور و ناقص منفی بلور دیده شده‌اند. البته شکل‌های منفی بلور در فلوئوریت دودی غالب می‌باشند. طبق رده‌بندی ارائه شده بوسیله (Shepherd et al., 1985) که بر مبنای تعداد فازهای



شکل ۳. تصاویر میکروسکوپی میانبارهای سیال در کانی فلوئوریت کانسار سولکان. الف و ب) تجمعی از میانبارهای تک فازی گازی به همراه میانبارهای دوفازی غنی از مایع. ج و د) میانبارهای دوفازی غنی از مایع. ه) میانبارهای سه فازی جامد - مایع - گاز.

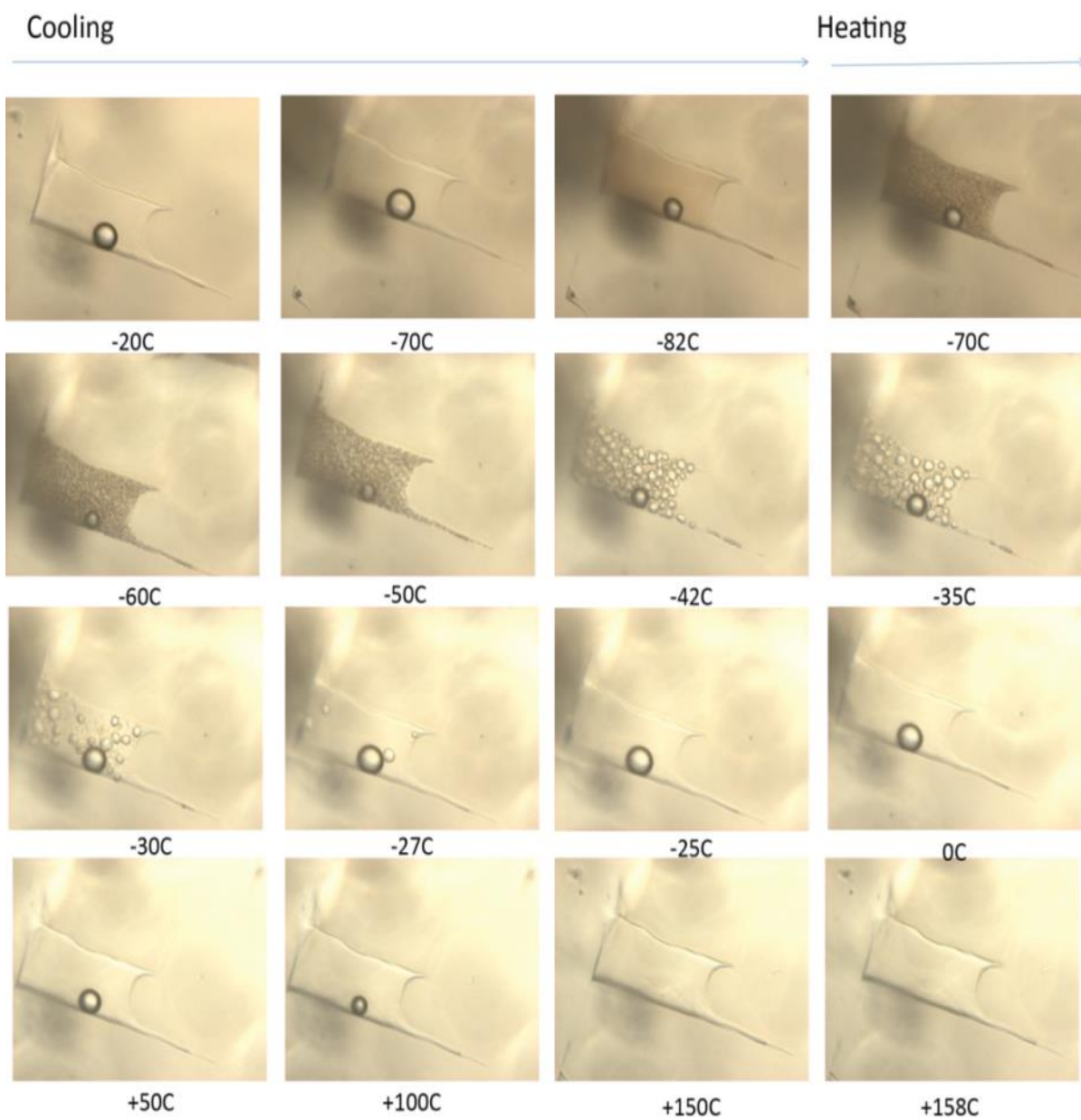
دمای ایوتکنیک نیز اندازه‌گیری شد. طبق مطالعات ریزدماسنجی و با توجه به نمودارهای شکل ۵ محدوده‌ی دمای همگن‌شدگی برای ۱۳۲ میانبار سیال از ۱۲۰ تا ۱۹۰ درجه‌ی سانتی‌گراد تشخیص داده شد که بیشترین فراوانی در محدوده‌ی دمایی ۱۷۰ - ۱۵۰ درجه‌ی سانتی‌گراد

ریزدماسنجی

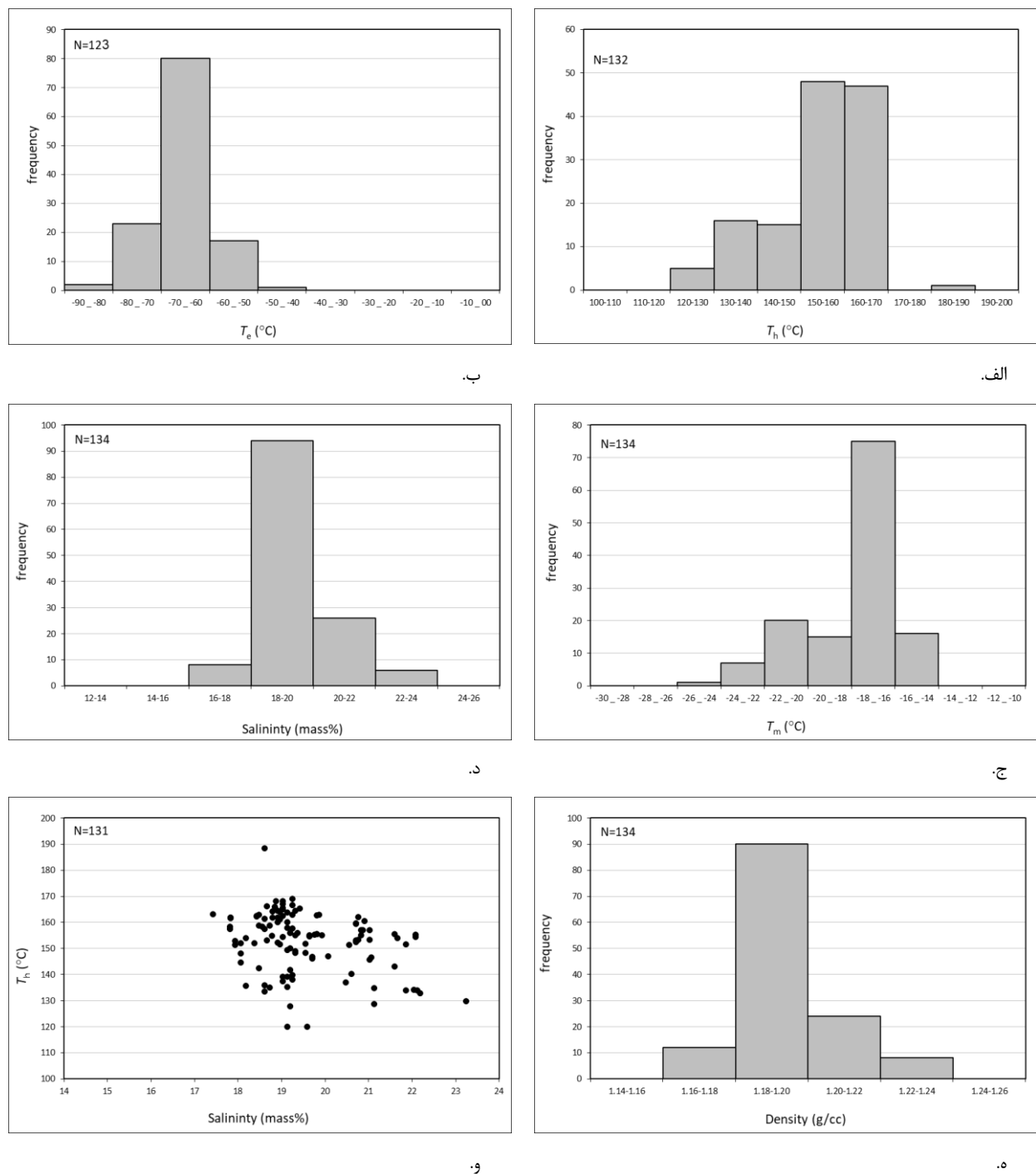
آزمایش ریزدماسنجی شامل مراحل سرمایش و گرمایش بر روی ۱۳۵ میانبار سیال که بیشتر آنها اولیه و تعداد کمتری ثانویه کاذب بوده‌اند، انجام گردید (شکل - ۴) از این تعداد بر روی ۱۲۳ میانبار سیال، میزان

گراد که بیشترین فراوانی را دارد، نشان‌دهنده سیستم $\text{CaCl}_2(\text{Mg})\text{--H}_2\text{O}\text{--NaCl}$ می‌باشد (Davis et al., 1990; Crawford, 1981; Roedder, 1984; Oakes et al., 1990 و Yao et al., 2001) در محلول اشاره می‌نماید (Na^+ , K^+ , Fe^{2+} , Ca^{2+} و Mg^{2+}) در سیستم $\text{H}_2\text{O}\text{--NaCl}\text{--CaCl}_2$ را تایید می‌کند. البته در این حالت حضور کاتیون Na^+ نسب به کاتیون Ca^{2+} همیشه بیشتر می‌باشد (Grandia et al., 2003).

می‌باشد (شکل ۵ الف). برای انجام مطالعات سرمایش، میانبارهای سیال تا حدود -90°C درجه سانتی گراد سرد شدند و پس از انجماد کامل، به آرامی گردیدند. دمای ذوب اولین بلور یخ در کانی فلوروریت سولکان محدوده‌ی دمایی گسترهای را به خود اختصاص می‌دهد. اما در سه محدوده‌ی دمایی -50°C تا -60°C (میانبار سیال)، -60°C تا -70°C (میانبار سیال) و -70°C تا -80°C (میانبار سیال) درجه سانتیگراد بیشترین فراوانی را از خود نشان می‌دهند (شکل ۵ ب). دمای ایوتکتیک میانبارهای سیال در محدوده‌ی دمایی حدود -60°C تا -70°C درجه سانتی



شکل ۴: تصاویری از تجربه سرمایش و گرمایش یک سیال درگیر دو فازی غنی از مایع در کانی فلوروریت کانسوار سولکان. شروع ذوب بلورهای یخ (T_h) تا ذوب آخرین بلورهای یخ (T_m) و دمای همگن شدن به فاز مایع (T_c).



شکل ۵. (الف) هیستوگرام دمای همگن شدگی (T_h)، (ب) دمای اولین ذوب بلور یخ (T_e). (ج) دمای ذوب آخرين بلور یخ (T_m). (د) شوری در میانبارهای سیال اندازه‌گیری شده در کانی فلئوریت کانسار سولکان. (ه) هیستوگرام چگالی میانبار سیال. (و) نمودار دمای همگن شدن در مقابل شوری میانبار سیال در فلئوریت کانسار سولکان

(Shepherd et al., 1985). این پدیده در انجام آزمایش گرمایش در دمای ۱۹۰ درجه سانتی‌گراد قابل مشاهده بود. دمای ذوب آخرين بلور یخ برای ۱۳۴ میان بار سیال بین ۲۵,۵ - تا ۱۴,۴ - درجه سانتی‌گراد با فراوانی در محدوده ۱۸ - تا ۱۶ - درجه سانتی‌گراد تعیین گردید (شکل ۵ ج). میزان شوری محلول با استفاده از نرم افزار AqSo Vir از

در تعداد کمتری از میانبارهای سیال دمای اولین ذوب بلور یخ در محدوده ۵۶ - درجه سانتی‌گراد اندازه‌گیری شده است که نشان دهنده حضور فاز CO_2 در میانبار سیال می‌باشد. اغلب میانبارهای سیال حاوی CO_2 قبل از همگن شدن و در حین گرمایش شکفته می‌شوند یا به عبارتی به علت فشار درون میانبار سیال عمل تراوش اتفاق می‌افتد

$$\Delta v1 = 3222.8 + 1.69 \text{ sal} \quad \text{معادله ۱}$$

در رابطه فوق $\Delta v1$ عدد موج طیف رامان (cm^{-1}) و sal شوری (mass %) است.

نتیجه‌گیری

با انجام مطالعات پتروگرافی میانبارهای سیال در کانسارت سولکان بر روی کانی فلوئوریت، میانبارهای سیال بیشتر به صورت اشکال نامنظم، کشیده، پهن، کروی، بیضی و شکل منفی بلور و ناقص منفی بلور تشخیص داده شد. همچنین بر مبنای تعداد فاز، شش نوع مشاهده شده‌اند. طبق مطالعات ریزدماسنجی انجام شده بر روی میانبارهای سیال اولیه و دوفازی، دامنه‌ی دمای همگن شدگی در کانی فلوئوریت ۱۹۰ تا ۱۹۰ درجه سانتی گراد، محدوده‌ی دمای ذوب آخرین بلور بین ۲۵,۵ - ۲۵,۵ تا ۱۴,۴ - ۱۴,۴ در سیستم $\text{H}_2\text{O} - \text{NaCl} - \text{CaCl}_2$ ای سانتی گراد تعیین گردید. میزان شوری با بیشترین فراوانی مقدار ۱۸ تا ۲۰ در میانه‌ی دمای همگن شدگی در کانی فلوئوریت ۱۹۰ تا ۱۹۰ درجه سانتی گراد، محدوده‌ی دمای ذوب آخرین بلور بین ۲۵,۵ - ۲۵,۵ تا ۱۴,۴ - ۱۴,۴ در سیستم $\text{H}_2\text{O} - \text{NaCl} - \text{CaCl}_2$ اندازه‌گیری شد. طیف‌های بدست آمده از اندازه‌گیری‌های لیزر رامان اسپکتروسکوپی بر روی فاز مایع در میانبار سیال دو فازی غنی از مایع نشان می‌دهد که فاز مایع H_2O همراه با یون‌های کلرید می‌باشد. بر اساس توزیع کوشی - لورنتز و آنالیزهای لیزر رامان اسپکتروسکوپی بر روی یکی از میانبار سیالی که بررسی‌های ریزدماسنجی آن انجام شده بود درجه شوری ۱۸,۱ تا ۱۸,۱ درصد محاسبه گردید. مقایسه نتایج بدست آمده در محاسبه شوری میانبارهای سیال دو فازی غنی از مایع بر اساس روش‌های ریزدماسنجی و لیزر رامان اسپکتروسکوپی نشان دهنده انتباطق نتایج روش‌های یاد شده با یکدیگر و دقت روش لیزر رامان اسپکتروسکوپی است.

نتایج بدست آمده از اندازه‌گیری‌های ریزدماسنجی و لیزر رامان اسپکتروسکوپی نشان می‌دهند که در مطالعات میانبارهای سیال می‌توان با کاربرد روش لیزر رامان اسپکتروسکوپی به صورت انفرادی یا ترکیبی به نتایج دقیق و قابل اعتمادی دسترسی یافت. البته با توجه به زمان کوتاه انجام آنالیز لیزر رامان اسپکتروسکوپی نسبت به روش‌های ریزدماسنجی، این روش در تعیین میزان شوری میانبارهای سیال از کارائی قابل تاملی برخوردار است.

قدرتانی

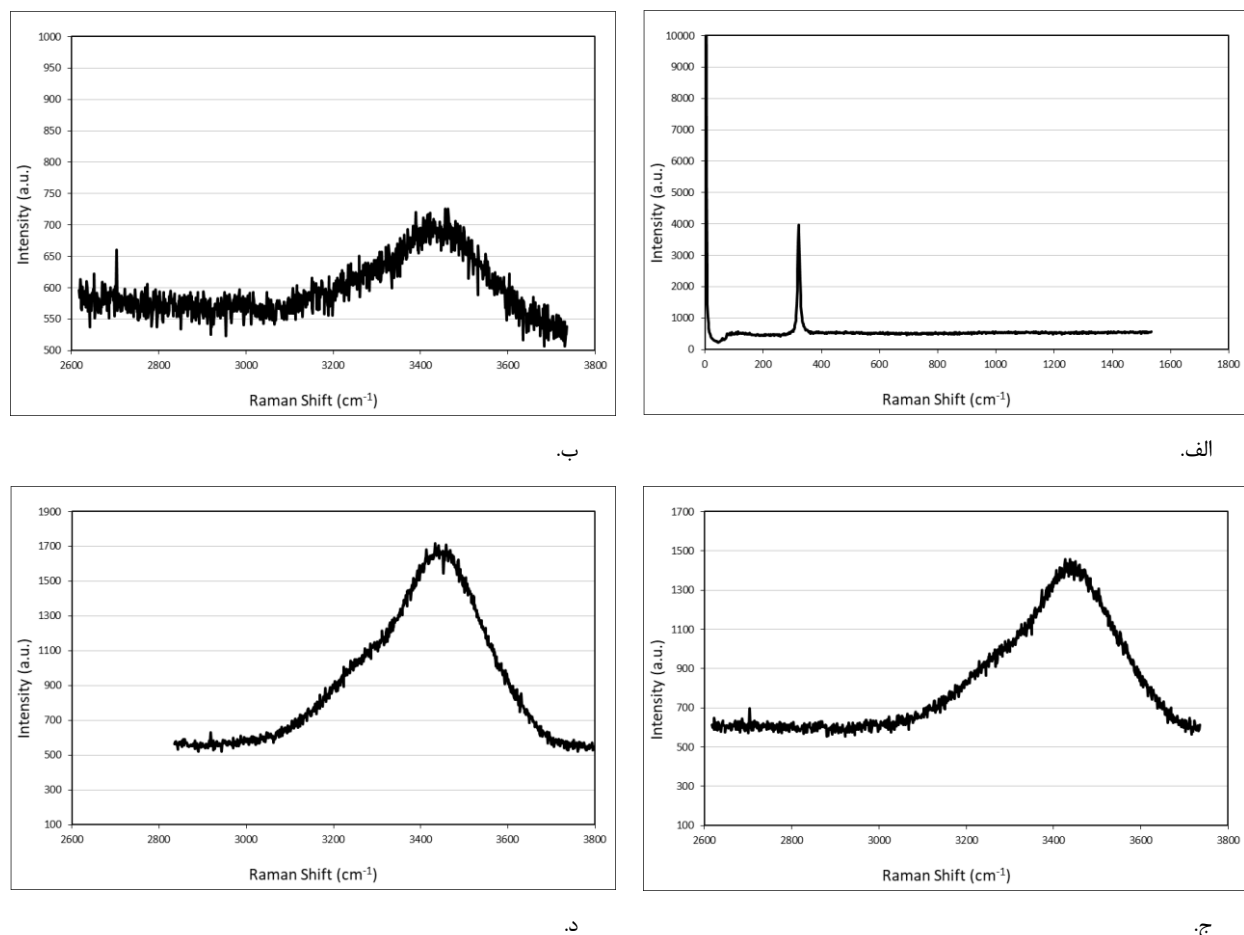
نویسنده‌گان این مقاله، از مدیریت محترم مجتمع سرب و روی انگوران جهت بازدید زمین‌شناسی از محدوده معدن، کارشناسان محترم شرکت مهندسین مشاور کوشا معدن که در مراحل نمونه‌برداری ما را همراهی کردند و همچنین پروفسور دکتر رونالد باکر از دانشگاه مونتان لیوبن که امکان استفاده از آزمایشگاه میانبارهای سیال را برای ما فراهم نمودند، تشکر و قدردانی می‌نمایند.

بسته نرم افزاری (© R.J. Bakker 2008) (Oakes et al. 1990) به نام Fluid Package است. میزان شوری ($\text{NaCl} + \text{CaCl}_2$) با بیشترین فراوانی در محدوده ۱۸ تا ۲۰ درصد در سیستم $\text{H}_2\text{O} - \text{NaCl} - \text{CaCl}_2$ اندازه‌گیری شد (شکل ۵). با استفاده از شوری میانبارهای سیال و دمای همگن شدن می‌توان چگالی سیال را با تقریب نسبتاً خوبی محاسبه نمود (شکل ۵). بطوریکه ملاحظه می‌گردد میانبارهای سیال مطالعه شده در فلوئوریت-های کانسارت سولکان، چگالی با مقدار ۱۰,۲۳ تا ۱۰,۱۷ گرم بر سانتی‌متر مکعب را نشان می‌دهند. در روند تکامل سیال گرمایی پدیده سردشدنی به وقوع پیوسته است و کاهش دمای همگن شدگی، سبب افزایش چگالی، کاهش سرعت سیال کانسنس‌ساز و در نهایت نهشت مواد معدنی شده است. شکل ۵ و نمودار دمای همگن شدن در مقابل شوری میانبار سیال در فلوئوریت کانسارت سولکان را نشان می‌دهد. با توجه به نمودار با افزایش دما میزان شوری کاهش و در برخی از میانبارهای سیال ثابت باقی می‌ماند البته تغییرات میزان شوری نسبت به افزایش دما چندان زیاد نمی‌باشد که این امر می‌تواند نشانگر اختلاط سیال مؤثر در کانی‌زایی با آب جوی باشد.

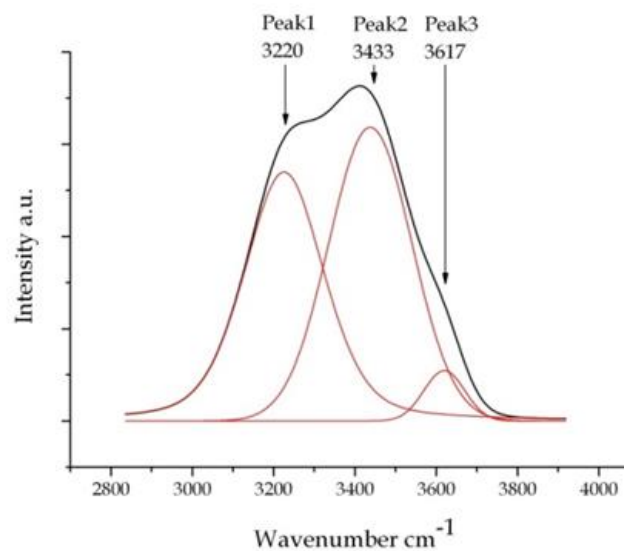
اندازه‌گیری شوری میانبار سیال با استفاده از لیزر رامان اسپکتروسکوپی

به منظور شناسایی دقیق‌تر فازهای مایع و گاز و محاسبه شوری فاز مایع بر مبنای روشی متفاوت از ریزدماسنجی، از روش لیزر رامان اسپکتروسکوپی استفاده شده است. از این رو بر روی کانی میزان شوری میانبار سیال که اندازه‌گیری‌های ریزدماسنجی بر روی آن صورت گرفته بود، آنالیز لیزر رامان اسپکتروسکوپی انجام گردید. طیف بدست آمده از آنالیزهای لیزر رامان اسپکتروسکوپی بر روی کانی میزان نشان دهنده یک پیک شاخص در cm^{-1} ۳۲۱,۲ می‌باشد که معرف کانی فلوئوریت است. طیف رامان حاصل از آنالیز فاز گاز در محدوده cm^{-1} ۳۶۵۷ - ۳۶۱۷ قرار می‌گیرد که نشانگر بخار آب (Chou et al., 1990) می‌باشد. همچنین دو اندازه‌گیری به وسیله‌ی لیزر رامان اسپکتروسکوپی بر روی فاز مایع انجام شد، طیف‌های بدست آمده بیانگر وجود آب به عنوان محلول اصلی هستند (شکل ۶ ج و د). بطوریکه در شکل ۶ ج و د نیز مشاهده می‌گردد، طیف‌های بدست آمده با طیف رامان آب خالص تفاوت چشم‌گیری نشان دهنده که حاکی از جایجایی پیک ۱ (مراجعةه شود به توزیع کوشی - لورنتز، شکل ۷) در هر دو اندازه‌گیری می‌باشد.

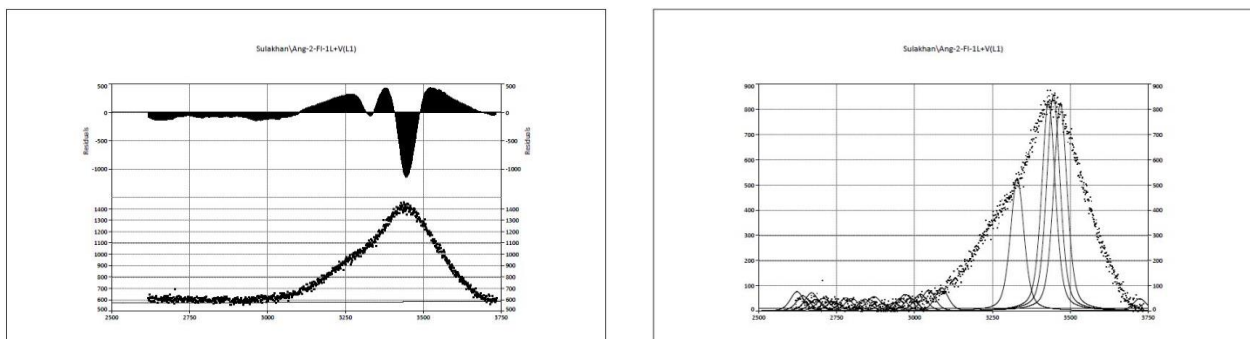
با توجه به توزیع کوشی - لورنتز، طیف رامان برای آب خالص نشان دهنده سه پیک در cm^{-1} ۳۴۳۳ (پیک ۱)، cm^{-1} ۳۴۲۰ (پیک ۲) و cm^{-1} ۳۶۱۷ (پیک ۳) به شرح شکل ۷ می‌باشد. طبق مطالعات Baumgartner and Bakker (2008) طیف یاد شده به عنوان یک فاکتور مهم در تعیین شوری محلول‌ها بویژه در سیستم $\text{H}_2\text{O} - \text{NaCl}$ بشرط می‌رود. شوری محلول می‌تواند بر مبنای رابطه پیشنهاد شده زیر محاسبه گردد. بر پایه جایجایی پیک ۱ و با استفاده از نرم افزار Peak Fit 2002 v. 4.12 (Baumgartner and Bakker, 2008) شوری فاز مایع محاسبه گردید که نتایج آن به ترتیب برای دو اندازه‌گیری متولی ۱۸,۱ و ۱۸,۱ درصد می‌باشد.



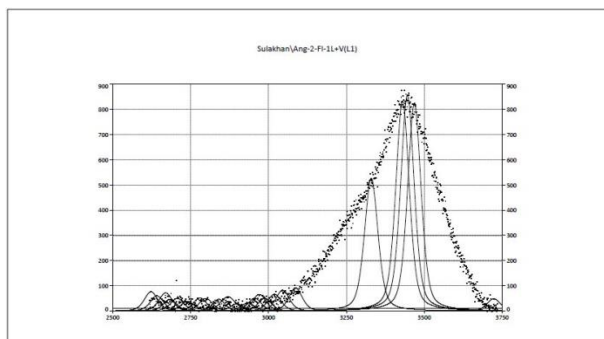
شکل ۶. طیف‌های بدست آمده از اندازه گیری‌های لیزر رامان اسپکتروسکوپی بر روی یک میانیار سیال منفرد. (الف) کانی میزبان (فلوئوریت) ب) فاز گاز (H_2O) و ج، د) فاز مایع ($\text{H}_2\text{O} \pm \text{Salt}$)



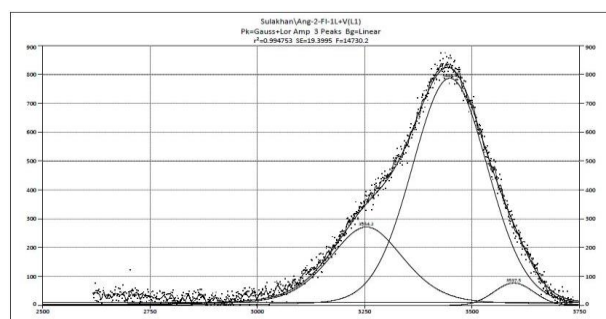
شکل ۷. توزیع کوشی - لورنتر برای طیف رامان آب خالص



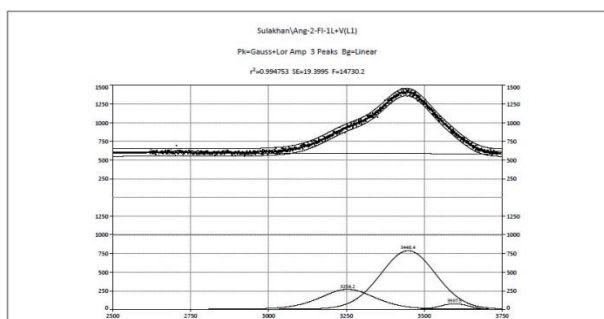
ب.



الف.

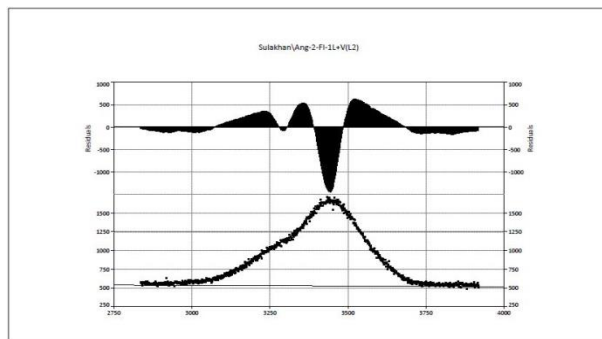


ج.

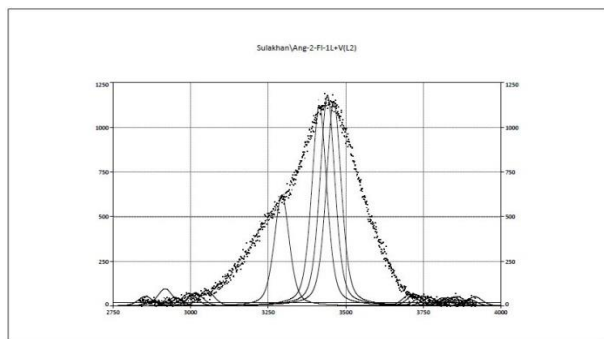


ج.

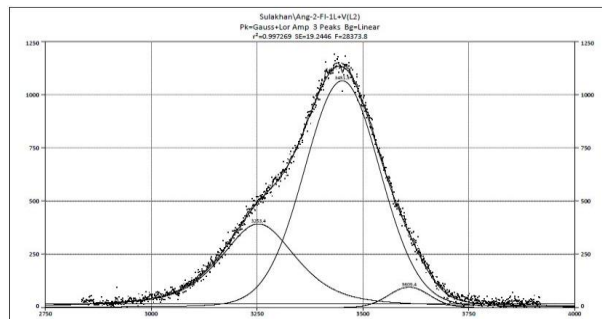
شکل ۸. پردازش طیف رامان فاز مایع میانبار سیال منفرد (طیف مرجع: شکل ۶ - ج) برمبنای توزیع کوشی - لورنتز و با استفاده از نرم افزار Peak Fit 2002 v. 4. 12 برآورد پیک‌های (نقاط حداکثر) منحنی، ب) رسم منحنی بر مبنای روش باقیمانده، ج) برآورد بازه اطمینان، د) تفکیک پیک‌های (نقاط حداکثر) منحنی. میزان جابجائی پیک شماره انسبت به طیف رامان آب خالص حاکی از شوری فاز مایع میانبار سیال است.



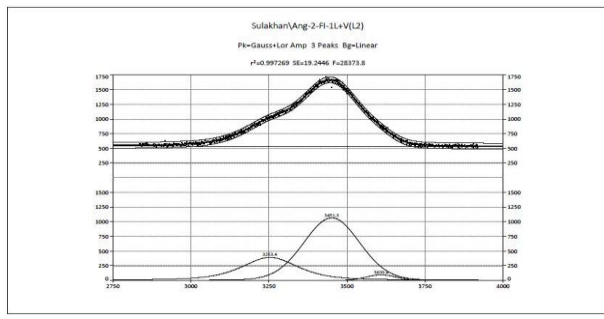
ب.



الف.



ج.



ج.

شکل ۹. پردازش طیف رامان فاز مایع میانبار سیال منفرد (طیف مرجع: شکل ۶ - د) برمبنای توزیع کوشی - لورنتز و با استفاده از نرم افزار Peak Fit 2002 v. 4. 12 برآورد پیک‌های (نقاط حداکثر) منحنی، ب) رسم منحنی بر مبنای روش باقیمانده، ج) تفکیک پیک‌های (نقاط حداکثر) منحنی. میزان جابجائی پیک شماره انسبت به طیف رامان آب خالص حاکی از شوری فاز مایع میانبار سیال است.

منابع

- احمدی.ب., ۱۳۷۴، زمین‌شناسی ایران، سنگ‌های رسوی پرکامبرین - کامبرین در ایران، انتشارات سازمان زمین‌شناسی و اکتشافات معدنی کشور.
- مرنگی.ح، عظیم‌زاده.ا، نباتیان.ق، کوهستانی.ح، محمدی نیایی.ر، ۱۳۹۶، کاربرد کانی‌شناسی و ژئوشیمی عناصر فرعی و کمیاب در تعیین فازهای حامل عناصر استراتیک در معدن روی و سرب انجوران - جنوب غرب زنجان، مجله زمین‌شناسی کاربردی پیشرفت، پاییز ۱۳۹۶، دوره ۷، شماره ۲۵ ص ۱۱۳ - ۹۵.
- نجف‌زاده.م، ابراهیمی.م، مختاری.م.ع.ا، کوهستانی.ح، ۱۳۹۵، رخداد معدنی عربشاه: کانه‌زایی ابی‌ترمال طلا - آرسنیک - آنتیموان تیپ کارلین در پهنه فلز‌زایی تکاب - انجوران - تحت سلیمان، آذربایجان غربی، مجله زمین‌شناسی کاربردی پیشرفت، جلد ۲۲، ص ۶۲ - ۷۷.
- Alavi, M., 1994, Tectonics of the Zagros orogenic belt of Iran: new data and interpretation. *Tectono physics*, Vol: 229, p: 211 - 238.
- Babakhani, A.R., Omrani, J., Mosavi, A., Abdolah, H.R., 2002, Geological maps 1: 10,000 Anguran area, Geological Survey and mineral exploration of Iran and Iran Zinc Mines Development Company, unpublished.
- Bakker, R., Azimzadeh, A.M. 2017, Combined Raman spectroscopy and low temperature microthermometry: Identification of salts in fluid inclusions. Second biennial fluid inclusion conference (INFI - II). University of Zanjan.
- Raman spectroscopy of pure H_2O and $NaCl - H_2O$ containing synthetic fluid inclusions in quartz - a study of polarization effects. *Mineralogy and Petrology*, Vol: 95 (1 - 2), P: 1 - 15.
- Baumgartner, M., Bakker, R., 2008, Raman spectroscopy of pure H_2O and $NaCl - H_2O$ containing synthetic fluid inclusions in quartz - a study of polarization effects. *Mineralogy and Petrology*, Vol: 95 (1 - 2), P: 1 - 15.
- Beane, R.E., 1983, The magmatic - meteoric transition. *Geotherm. Resour. Counc. Spec. Rep.*, Vol: 13, P: 245-253.
- Bodnar, R.J., Beane, R.E., 1980, Temporal and spatial variations in hydrothermal fluid characteristics during vein filling in preore cover overlying deeply buried porphyry Copper, type mineralization at red mountain, Arizona, *Economic Geology*, Vol: 75, P: 876 - 893.
- Chou, I. M., Pasteris, J.D., Seitz. J.C., 1990, High - density volatiles in the system C–O–H–N for the calibration of a laser Raman microprobe. *Geochim. Cosmochim. Acta*, Vol: 54, P: 535-543.
- Crawford, M.L., 1981, Phase equilibria in aqueous fluid inclusions. *Mineral. Assoc. Can. Short Course Handbook*, 6: 75 - 100.
- Daliran, F., 2008, The carbonate rock - hosted epithermal gold deposit of Agdarreh, Takab geothermal field, NW Iran - hydrothermal alteration and mineralization. *Miner. Deposita*, Vol: 43, P: 383-404.
- Daliran, F., Pride, K., Walther, J., Berner, Z.A., Bakker, R.J., 2013, The Angouran Zn (Pb) deposit, NW Iran: Evidence for a two stage, hypogene zinc sulfide–zinc carbonate mineralization. *Ore Geology Reviews*, Vol: 53, P: 373 - 402.
- Damm, B., 1968, Geologie des Zendan - I Suleiman und seiner Umgebung südöstliches Balqash - Gebirge Nordwest - Iran. Beiträge zur Archäologie und Geologie des Zendan - I Suleiman, Teil 1. Franz Steiner Verlag, Wiesbaden, P: 1-52.
- Davis, D.W., Lowenstein, T.K., Spencer, R.J., 1990, Melting behavior of fluid inclusions in laboratory - grown halite crystals in the systems $NaCl - H_2O$, $NaCl - KCl - H_2O$, $NaCl - MgCl_2 - H_2O$, And $NaCl - CaCl_2 - H_2O$: *Geochimica et Cosmochimica Acta*, Vol: 54, P: 591-601.
- Frantz, J.D., Dubessy, J., Mysen, B., 1993, An optical cell for Raman spectroscopic studies of supercritical fluids and application to the study of water to 500°C and 2000 bar. *Chemical Geology*, Vol: 106, P: 9-26.
- Frezzotti, M.L., Tecce, B., Casagli, A., 2012, Raman spectroscopy for fluid inclusion analysis. *Journal of Geochemical Exploration*, Vol: 112, P: 1-20.
- Gazanfari, F., 1991, Metamorphic and igneous petrogenesis in NE of Takab with special regard to zinc mineralization in the Angouran mine. Unpublished MSc Thesis, Teheran University, P: 530. (in Farsi).
- Gilg, H.A., Allen, C., Balassone, G., Boni, M., Moore. F., 2003, The 3 - stage evolution of the Angouran Zn Oxide - Sulfide deposit, Iran. In: Eliopoulos D Et Al (Eds) mineral exploration and sustainable development. Millpress, Rotterdam: P: 77-80.
- Gilg, H.A., Boni, M., Balassone, G., Allen, C., David, B., Moore, F., 2006, Marble - hosted sulphide ores in the Angouran Zn - (Pb - Ag) deposit, NW Iran: interaction of sedimentary brines with a metamorphic core complex. *Mineralium Deposita*, Vol: 1, P: 1-16.
- Glennie, K.W., 2000, Cretaceous tectonic evolution of Arabia's eastern plate margin: A tale of two oceans in: Middle East models of Jurassic/Cretaceous carbonate systems. *Sepm special Publication*, Vol: 69, P: 9-20.
- Goldstein, R.H., Reynolds, T., 1994, Systematics of fluid inclusions in diagenetic minerals: SEPM Short Course 31. Society for Sedimentary Geology, Vol: 199, P: 1 - 43.
- Grandia, F., Cardellach, E., Canals, A., Banks, D.A., 2003, Geochemistry of the fluids related to epigenetic carbonate - hosted zn - pb deposits in the Maestrat basin, Eastern Spain: fluid inclusion and isotope (Cl, C, O, S, Sr) evidence. *Economic Geology*, Vol: 98, P: 933-954.
- Guilbert, J.M., Park. Jr.C.F., 1997, The geology of ore deposits, Freeman and company, New York, P: 985.
- Mehrabi, B., Yardley, B.W.D., Cann, J.R., 1999, Sediment - hosted disseminated gold mineralization at Zarshuran, NW Iran. *Miner Deposita*, Vol: 34, P: 673 - 696.

- Mohajel, M., Fergusson, C.L., Sahandi, M.R., 2003, Cretaceous - Tertiary convergence and continental collision, Sanandaj - Sirjan zone, Western Iran. *Journal of Asian Earth Sciences*, Vol: 21, P: 397 - 412.
- Naumann, E., 1961, Geographische Und Geologischeinordnung. Teheran forschr, Vol: 1, P: 15–32.
- Rahimpour - Bonab, H., Kazemi, H., 2003, Geology, mineralogy and genesis of the gharah - gol boron deposit, Swofzanjan, Iran. *J Sci univ Tehran*, Vol: 29, P: 1–23.
- Richards, J.P., Wilkinson, D., Ullrich, T., 2006, Geology of the sari gunay epithermal gold deposit, Northwest Iran. *Econ.Geol*, Vol: 101, P: 1455–1496.
- Roedder, E., 1984, Fluid inclusions: Reviews in mineralogy, Vol: 12, p: 644.
- Rull, F.D., Saja, J.A., 1986, Effect of electrolyte concentration on the Raman spectra of water in aqueous solutions. *J Raman Spectrosc*, Vol: 17, P: 167–172.
- Shepherd, T., Rankin, A.H., Alderton, D., 1985, A practical guide to fluid inclusions studies, Blackie, Glasgow, P: 239.
- Simmons, S.F., Simpson, M.P. Mauk, J., 2000, The mineral products of boiling in the golden cross epithermal deposit. *New Zealand Minerals and Mining Conference Proceedings*, P: 209 - 216.
- Stöcklin, J., 1968, Structural history and tectonics of Iran - a review. *Bull. Am. Assoc. Pet. Geol.*, Vol: 52, P: 1223–1258.
- Van den Kerkhof, A.M., Hein, U.F., 2001, Fluid inclusion petrography. *Lithos*, Vol: 55, P: 27–4.
- Yao, Y., Murphy, P.J., Robb, L.J., 2001, Fluid characteristics of granitoid - hosted gold deposits in the birimianterrane of Ghana: a fluid inclusion microthermometric and Raman spectroscopic study. *Economic Geology*, Vol: 96, P: 1611–43.